

تحلیل سینماتیکی و سینتیکی موتور تراکتور مسی فرگومن ۲۸۵

غلامحسین شاهقلی^{۱*} و حسین ایران نژاد^۱

تاریخ دریافت: ۹۲/۵/۱ تاریخ پذیرش: ۹۳/۸/۱

۱- گروه مهندسی مکانیک ماشین‌های کشاورزی دانشگاه محقق اردبیلی

* مسئول مکاتبه E-mail:gshahgoli@yahoo.com

چکیده

تراکتورهای کشاورزی یکی از ارکان مهم مکانیزاسیون در هر کشوری می‌باشند. تراکتورها توان لازم را برای اغلب عملیات کشاورزی از قبیل خاک ورزی، کاشت، داشت و برداشت فراهم می‌کنند. رایج ترین تراکتور در ایران مسی فرگومن ۲۸۵ بوده ولی به آن حجمی که تولید و استفاده می‌گردد تحقیقی روی آن انجام نگرفته است. موتور درون سوز قسمت اصلی تراکتور بوده که توان لازمه برای عملکرد تراکتور از طریق آن تولید می‌گردد. عملکرد موتور بستگی به پارامترهای مختلف از جمله کارکرد اجزا آن و ارتباط آنها به یکدیگر دارد. جهت درک چگونگی مکانیزم عملکرد اجزاء اصلی موتور و ارتباط آنها در هنگام کار، اجزاء اصلی و محرک به صورت سینماتیکی و سنتیکی مورد تحلیل قرار گرفتند و نتایج تحلیل به صورت سرعت و شتاب پیستون، دسته پیستون و میل لنگ استخراج گردید. همچنین نیروها و گشتاور وارد بر لنگ متحرک میل لنگ محاسبه گردید. نتایج بدست آمده از آنالیز نیرو، تنش و خستگی می‌تواند باعث بهینه‌سازی و در نتیجه مقاوم کردن قطعات و سبک نمودن آنها در آینده منجر گردد.

واژه‌های کلیدی: پیستون، تراکتور مسی فرگومن ۲۸۵، سینماتیک و سنتیک، موتور

دقیق قطعات موتور برای طراحی‌های جدید یا بهینه‌سازی ضروری است (فاسیمی نژاد، ۱۳۸۸).

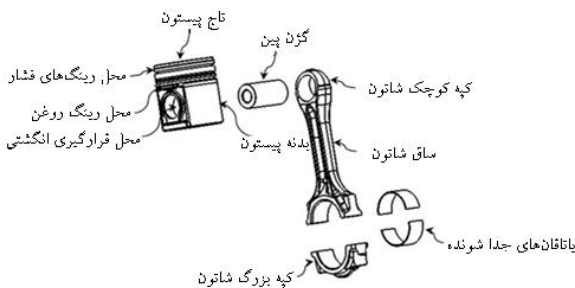
۱- مقدمه

موتور بعنوان بخش محرک سیستم انتقال قدرت تلقی می‌شود و نوسانات سیستم انتقال قدرت ناشی از تحریک موتور می‌باشد. بنابراین در بررسی ارتعاشات سیستم انتقال قدرت اولین قدم شناسائی منبع ارتعاش و نحوه تحریک می‌باشد. بسیاری از نوسانات کوچک موتور توسط فلاپویل جذب می‌شود و به سیستم انتقال قدرت وارد نمی‌گردد. عامل اصلی تحریک و نوسانات موتور ضربات ناشی از احتراق و نیروهای اینرسی می‌باشد. برای تجزیه و تحلیل استحکام قطعات مکانیزم لنگ، به خصوص میل لنگ ابتدا باید مقادیر و چگونگی تغییرات نیروها و گشتاورهای اعمالی روی آنها مشخص گردد. بدین منظور دینامیک مکانیزم لنگ شامل سینماتیک و سینتیک دستگاه حرکتی بررسی می‌شود. در سینماتیک معادلات حرکت اجزای دستگاه حرکتی از لحاظ مقدار، جهت و تغییرات آنها مورد تجزیه و تحلیل قرار می‌گیرد.

با رسم منحنی‌های نیرو و گشتاور وارد بر اجزای دستگاه حرکتی به خوبی می‌توان مقدار و تغییرات آنها را در یک چرخه کاری کامل موتور مورد بررسی قرار داد. در سال‌های اخیر با ورود نرم افزارهای قدرتمند در زمینه تحلیل دینامیکی دستگاه‌های حرکتی به راحتی می‌توان تحلیل دینامیکی مکانیزم لنگ موتور را انجام داد.

مکانیزه کردن عملیات کشاورزی رکن اساسی مدرنیزه کردن کشاورزی می‌باشد. عملکرد مزارع به طور اساسی به دردسترس بودن منبع توان مناسب با ادوات کشاورزی کارآمد و استفاده مناسب از آنها بستگی دارد. تراکتور متداول‌ترین و مهم‌ترین منبع تولید توان در کشاورزی مکانیزه است و توسعه مکانیزاسیون کشاورزی تا حد زیادی تابع میزان و چگونگی بکارگیری این منبع تولید توان می‌باشد. تراکتورها توان لازم را برای کار ماشین‌های خاک ورزی، کاشت، داشت و برداشت را فراهم می‌نمایند. استفاده بهینه از تراکتور در گرو میزان کیفیت قطعات در حد مطلوب نباشد، شکستگی و فرسودگی آنها موجب ایجاد توقف‌های ناخواسته در مزرعه می‌گردد که این امر در عملکرد فنی و بازده اقتصادی ماشین مؤثر است. در کشور ما هزینه‌های تعمیرات و تعویض قطعات نسبت به استاندارد جهانی رقم بالایی را نشان می‌دهد. کاهش هزینه‌های فوق می‌تواند کمک قابل توجهی در جهت بهره‌برداری درست از ماشین‌ها و رفع معایب موجود در ماشینی کردن تولید در بخش کشاورزی باشد. لذا شناسائی، بررسی و بهینه‌سازی قسمت‌های مختلف که عموماً تحت خطر خوردگی، سایش و شکست هستند، اهمیت بهسازی دارد. به همین علت تحلیل

اجزای تشکیل دهنده پیستون و دسته پیستون در شکل (۳) نشان داده شده است. سر بزرگ دسته پیستون^۱ یک قسمت جدا شدنی^۲ (کپه) دارد تا بتوان دسته پیستون را از میل لنگ جدا کرد. کپه توسط دو پیچ مقاوم که باید در موقع مونتاژ با گشتاور معینی بسته شوند در جای خود نگه داشته می شود. دسته پیستون نباید خم شود یا پیچ بردارد (رنجبر کهن، ۱۳۷۸).



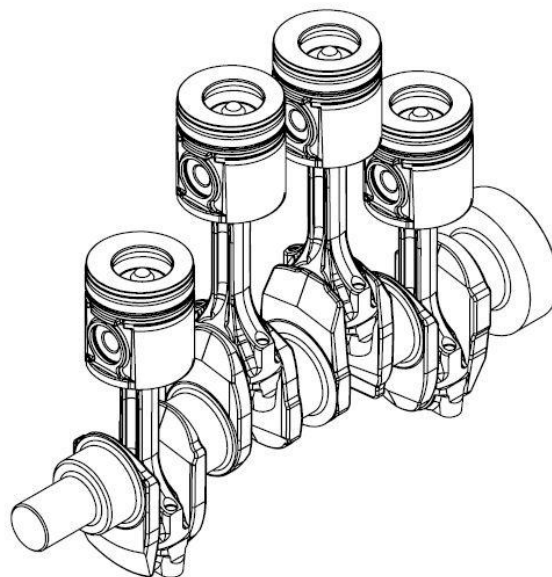
شکل (۳): اجزای تشکیل دهنده پیستون و دسته پیستون

پیستون یک سطح فوقانی^۳ بوجود می آورد که گازهای محترق می توانند روی آن فشار آورند، همچنین پیستون رینگ ها را برای آب بندی و تمیز کاری سیلندر با خود حمل می کند. پیستون ها از چدن یا آلیاژهای آلومینیوم ریخته شده و ساخته می شوند (رنجبر کهن، ۱۳۷۸).

میل لنگ در اتصال با دسته پیستون ها برای تبدیل حرکت رفت و برگشتی پیستون ها به حرکت چرخشی عمل می کند. میل لنگ ها نوعاً به صورت یک قطعه فولاد آلیاژی آهنگری یا ریخته گری شده است که تحت عملیات حرارتی قرار گرفته ساخته می شوند. یک چرخ لنگر به یک انتهای میل لنگ متصل شده است تا ضربه های توان پیستون ها را یکنواخت کند. چرخ لنگر زمانی که پیستون ها در کورس توان هستند سرعت می گیرد و انرژی ذخیره می کند و سرعت و انرژی آن وقتی که پیستون ها در کورس های دیگر هستند کاسته می شود. لنگ های میل لنگ به دلیل شرایط کارکرد و نیروهای اعمالی بر آن، یکی از عوامل ایجاد ارتعاش در موتور محسوب می شود.

طی کارکرد موتور در اثر فرآیند احتراق، فشار به صورت دوره ای ایجاد می شود که باعث ایجاد تنفس های مکانیکی در میل لنگ می شود. میل لنگ همواره در معرض اعمال بارهای متعدد، بزرگ، آنی و متغیر است و همین موضوع، طراحی، مدل سازی و افزایش طول عمر آن را با مشکلات زیادی روبرو ساخته است. یکی از بارهایی که میل لنگ همواره در حال انتقال آن است گشتاور پیچشی می باشد که این گشتاور باعث بوجود آمدن تنفس برشی (تنفس برشی ناشی از پیچش) در یاتاقان های ثابت و یاتاقان های متحرک می شود (مرادی،

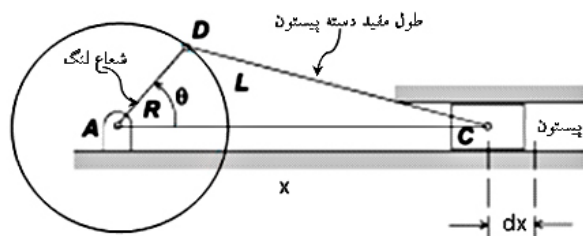
یکی از مجموعه های مهم در هر موتور از نوع احتراق داخلی، مجموعه مکانیزم لنگ آن می باشد که در آن حرکت رفت و برگشتی پیستون از طریق دسته پیستون و قطعات واسطه، به حرکت دورانی میل لنگ تبدیل می شود که در شکل (۱) نشان داده شده است. در اثر پدیده احتراق و به وجود آمدن نیروهای فشاری حاصل از انبساط گاز، موتور بدست می آید. سرعت و شتاب زاویه ای میل لنگ در طول سیکل حرکتی آن تغییر کرده و نیروهایی بر قسمت های مختلف مکانیزم وارد می شوند.



شکل (۱): مکانیزم موتور MF285

از پارامترهای مهمی که می بایست در تحلیل سینماتیک و دینامیک مورد توجه قرار گیرند اثر تغییر سرعت و شتاب زاویه ای میل لنگ می باشد (فروزانپور، ۱۳۷۶).

دینامیک اصلی موتور را پیستون، دسته پیستون، میل لنگ و چرخ طیار تشکیل می دهد. در شکل (۲) طرح واره اجزای اصلی موتور نشان داده شده است که در آن پیستون در امتداد محور x در حرکت رفت و برگشتی است، این حرکت رفت و برگشتی تبدیل به حرکت دورانی در میل لنگ می شود.



شکل (۲): شماتیکی از مکانیزم دورانی موتور

¹- Head

²- Connecting Rod

³- Top

$$r \sin \theta = l \sin \beta \quad (2)$$

$$\frac{r}{l} = n \quad (3)$$

$$\cos \beta = \sqrt{1 - n^2 \sin^2 \theta} \quad (4)$$

$$x = r \cos \theta + l \sqrt{1 - n^2 \sin^2 \theta} \quad (5)$$

با استفاده از بسط دو جمله‌ای و با توجه به اینکه در موتور MF 285 $n \leq 29$. و جملات سوم به بعد دارای توان‌های بالاتر هستند، بطور تقریبی دو جمله اول این رابطه کافی است، یعنی:

$$\sqrt{1 - n^2 \sin^2 \theta} \cong 1 - \frac{1}{2} n^2 \sin^2 \theta = 1 - \frac{1}{4} n^2 + \frac{1}{4} n^2 \cos 2\theta \quad (6)$$

$$x = r \cos \theta + l \left(1 - \frac{1}{4} n^2 + \frac{1}{4} n^2 \cos 2\theta \right) \quad (7)$$

سرعت متوسط پیستون در هر لحظه از مشتق اول جابجایی نسبت به زمان حاصل می‌شود:

$$V = \frac{dx}{dt} \quad (8)$$

$$v = -r\omega \sin \theta - \frac{1}{2} rn \cdot \omega \sin 2\theta \quad (9)$$

شتاب متوسط پیستون از مشتق دوم جابجایی نسبت به زمان حاصل می‌شود:

$$a_p = -r\omega^2 \cos \theta - rn\omega^2 \cos 2\theta \quad (10)$$

برای محاسبه سرعت و شتاب زاویه‌ای دسته پیستون با توجه به شکل (۴) و مشتق‌گیری از رابطه (۲) نسبت به زمان داریم:

$$r\dot{\theta} \cos \theta = l\dot{\beta} \cos \beta \quad (11)$$

$$\dot{\beta} = \lambda \dot{\beta} = \frac{r\dot{\theta} \cos \theta}{l \cos \beta} \quad (12)$$

$$\lambda = \frac{n\omega \cos \theta}{\sqrt{1 - n^2 \sin^2 \theta}} \quad (13)$$

که λ سرعت زاویه‌ای مرکز جرم دسته پیستون نسبت به پیستون است.

با استفاده از بسط تیلور نتیجه می‌شود:

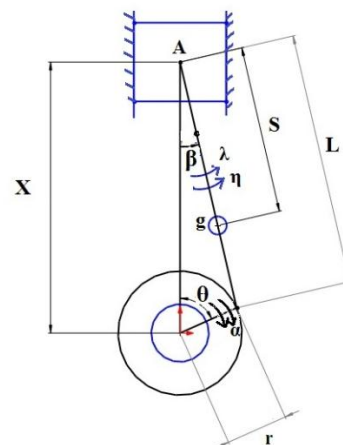
$$\frac{1}{\sqrt{1 - n^2 \sin^2 \theta}} \cong 1 + \frac{1}{2} + n^2 \sin^2 \theta \quad (14)$$

بنابر رابطه (۱۳) سرعت زاویه‌ای دسته پیستون را می‌توان چنین نوشت:

۱۳۸۵ بازوهای لنگ میل لنگ نیز ناگزیر از تحمل این نیرو هستند و بحرانی‌ترین نقاط از نظر میزان تنش مربوط به محل اتصال همین قسمت از میل لنگ با یاتاقان متحرک می‌باشد. علاوه بر گشتاور پیچشی لازم برای حرکت موتور، ارتعاشات ناشی از اعمال بارهای عرضی باعث بوجود آمدن پیچش و در نتیجه تنش‌های برشی در قطعات مختلف میل لنگ می‌شود. اندازه تنش‌های پیچشی بزرگ‌ترین مقدار را در مقایسه با سایر عوامل تنش‌زا حتی نظیر ارتعاشات عرضی، به خود اختصاص می‌دهند (تروی^۱ و هیل، ۲۰۰۲).

۲- مواد و روش‌ها

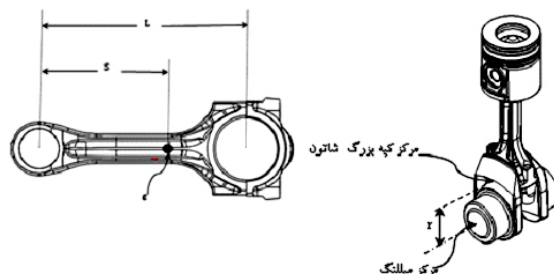
شکل (۴) حرکت رفت و برگشتی پیستون را در امتداد محور x نشان می‌دهد. که در آن موقعیت پیستون در هر زمان t مشخص شده است.



شکل (۴): مکانیزم دورانی لنگ موتور

باتوجه به شکل (۴) جابجایی x برابر است با:

$$x = r \cos \theta + l \cos \beta \quad (1)$$



شکل (۵): مدل‌های نشان دهنده طول مفید شاتون و فاصله شعاعی و فاصله بین مرکز جرم و سر کوچک شاتون همانطور که شکل (۵) نشان می‌دهد، در آن ۲ شعاع لنگ، اطول مفید دسته پیستون، θ زاویه چرخش لنگ و برابر با ωt و β زاویه موقعیت دسته پیستون با امتداد حرکت پیستون است.

با جایگذاری روابط (۱۹) و (۲۰) در (۱۸) شتاب $\vec{a}_{g/p}$ به صورت زیر می‌شود:

$$\vec{a}_{g/p} = \vec{\eta} \times \vec{r}_{g/p} + \vec{\lambda} \times (\vec{\lambda} \times \vec{r}_{g/p}) \quad (21)$$

در روابط (۱۹) و (۲۰) $r_{g/p}$ فاصله برداری نقطه g از p است، و از معادله زیر حاصل می‌شود:

$$\begin{aligned} \vec{r}(g/p) &= s(-\cos(\beta) \mathbf{i} + \sin(\beta) \mathbf{j}) = \\ &= (-e(l - \frac{rn}{4})(1 - \cos(2\theta))) \mathbf{i} + (er \sin(\theta)) \mathbf{j} \end{aligned} \quad (22)$$

که s فاصله مرکز جرم دسته پیستون از مرکز چشم کوچک و $e = s/l$ است.

شکل برداری متغیرهای a_p , η و λ در زیر نشان داده است.

$$\vec{r}_{g/p} = \begin{bmatrix} -e(l - \frac{rn}{4}(1 - \cos(2\theta))) \\ er \sin(\theta) \\ 0 \end{bmatrix}, \quad (23)$$

$$\vec{\eta} = \begin{bmatrix} 0 \\ 0 \\ \eta \end{bmatrix}, \vec{\lambda} = \begin{bmatrix} 0 \\ 0 \\ \lambda \end{bmatrix}, \vec{a}_p = \begin{bmatrix} a_p \\ 0 \\ 0 \end{bmatrix}$$

بردارهای (۲۳) را می‌توان به صورت مؤلفه‌های k و j و i نوشت.

$$a_p = (-r\omega^2 \cos(\theta) - rn \cos(2\theta) \omega^2) \mathbf{i} \quad (24)$$

$$\lambda = (n\omega \cos(\theta)(1 + \frac{n^2}{4}(1 - \cos(2\theta))) \vec{K} \quad (25)$$

$$\eta = \left[-n\omega^2 \sin(\theta) \left(1 + \frac{n^2}{4}(1 - \cos(2\theta)) \right) + n \frac{n^2}{2} \omega^2 \cos(\theta) \sin(2\theta) \right] \vec{K} \quad (26)$$

با توجه به معادلات (۱۹)، (۲۱)، (۲۲) و (۲۳) و جایگذاری در معادله (۱۷) شتاب در مرکز جرم دسته پیستون حاصل می‌شود.

$$(27)$$

$$\vec{a}_g = \left\{ \begin{array}{l} \left[\begin{array}{c} (-r \cos(\theta) \omega - rn \cos(2\theta) \omega^2) + \\ \left[-n\omega^2 \sin(\theta) \left(1 + \frac{n^2}{4}(1 - \cos(2\theta)) \right) + n \frac{n^2}{2} \omega^2 \cos(\theta) \sin(2\theta) \right] (-er \sin(\theta)) \end{array} \right] i \\ \left[\begin{array}{c} + (n\omega \cos(\theta)(1 + \frac{n^2}{4}(1 - \cos(2\theta))))^2 (e(l - \frac{rn}{4}(1 - \cos(2\theta)))) \\ + (n\omega \cos(\theta)(1 + \frac{n^2}{4}(1 - \cos(2\theta))))^2 (-er \sin(\theta)) \end{array} \right] j \end{array} \right\}$$

همانطور که مشاهده می‌شود a_{gx} دارای مؤلفه‌های عمودی و a_{gy} افقی است، یعنی:

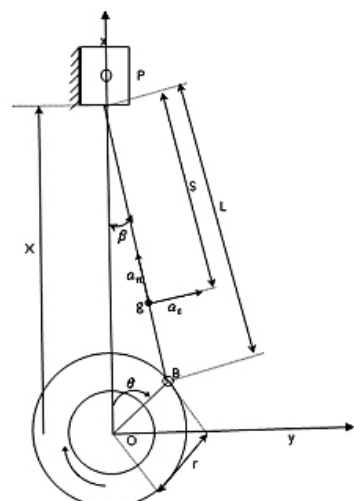
$$\lambda = n\omega \cos(\theta) \left\{ 1 + \frac{n^2}{4} - \frac{1}{4} n^2 \cos(2\theta) \right\} \quad (15)$$

برای به دست آوردن شتاب زاویه‌ای دسته پیستون باید از سرعت

$$\eta = \frac{d\lambda}{dt}$$

$$\eta = -n\omega^2 \sin(\theta) \left(1 + \frac{n^2}{4}(1 - \cos(2\theta)) \right) + n \frac{n^2}{2} \omega^2 \cos(\theta) \sin(2\theta) \quad (16)$$

حال با بدست آوردن مقادیر شتاب پیستون (a_p) و همچنین سرعت و شتاب زاویه‌ای دسته پیستون (λ و η) می‌توان شتاب نسبی را در مرکز جرم دسته پیستون بدست آورد.



شکل (۶): شتاب‌های عمودی و مماسی دسته پیستون

باتوجه به شکل (۶) معادله شتاب نسبی در مرکز جرم دسته پیستون (نقطه g) برابر است با حاصل جمع برداری شتاب پیستون (a_p) و شتاب در مرکز دسته پیستون از دید ناظر غیر دورانی متحرک (مریام^۱، ۱۹۹۸).

$$\vec{a}_g = \vec{a}_p + \vec{a}_{g/p} \quad (17)$$

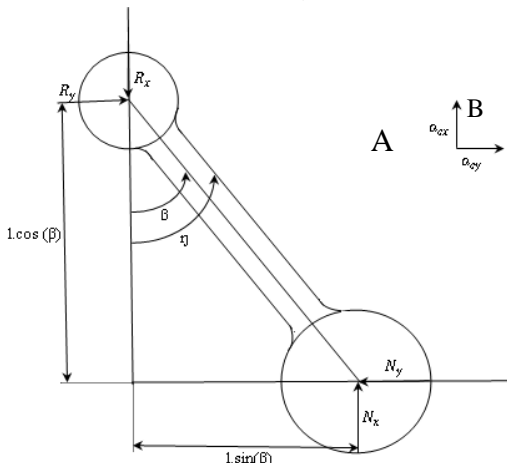
$$\vec{a}_{g/p} = \vec{a}_t + \vec{a}_n \quad (18)$$

که a_t مؤلفه عمودی و a_n مؤلفه مماسی شتاب $a_{g/p}$ است که توسط روابط برداری زیر حاصل می‌شوند.

$$\vec{a}_t = \vec{\eta} \times \vec{r}_{g/p} \quad (19)$$

$$\vec{a}_n = \vec{\lambda} \times (\vec{\lambda} \times \vec{r}_{g/p}) \quad (20)$$

حال با داشتن دو نیروی R_x و R_y می‌توان نیروهای عمودی افقی N_y وارد بر انتهای چشم بزرگ دسته پیستون را محاسبه کرد. در اینجا جرم دسته پیستون m_c است.



شکل (۸): دسته پیستون و نیروهای وارد بر آن

با توجه به شکل (۸) نتیجه می‌شود:

$$\sum F_x = m_c a_{cx} \quad (۳۶)$$

$$N_x - R_x = m_c a_{cx} \quad (۳۷)$$

با توجه به روابط (۳۳) و (۳۷) مقدار N_x بدست می‌آید.

$$N_x = F_g + m_p a_p + m_c a_{cx} \quad (۳۸)$$

گشتاور حول نقطه A چنین می‌شود (مریام، ۱۹۹۶):

$$\sum M_A = I_A \eta \quad (۳۹)$$

در رابطه (۳۹) I_A گشتاور اینرسی دسته پیستون حول نقطه است. محاسبه گشتاور اینرسی دسته پیستون به علت شکل پیچیده آن مشکل می‌باشد و به راحتی نمی‌توان آن را محاسبه کرد. بنابراین در این تحقیق دسته پیستون در نرمافزار سالیدورک مدل‌سازی شده و پس از اعمال چگالی بر واحد حجم میزان گشتاور اینرسی در هر نقطه دلخواه از دسته پیستون بدست می‌آید. توجه شود که برای یافتن گشتاور اینرسی در هر نقطه دلخواه باید دسته پیستون در محیط نرمافزار طوری جابجا شود که آن نقطه دلخواه به عنوان مبدأ مختصات اصلی قرار گیرد.

$$N_x l \sin(\beta) - N_y l \cos(\beta) = I_A \eta \quad (۴۰)$$

$$N_y = \frac{N_x l \sin(\beta) - I_A \eta}{l \cos(\beta)} \quad (۴۱)$$

بعد از تبدیل رابطه (۴۱) بر حسب تابعی از θ و N_y به صورت زیر نوشته می‌شود:

$$N_y = \frac{N_x r \sin(\theta) - I_A \eta}{1 - \frac{\ln^2}{4} + \frac{\ln^2}{4} \cos(2\theta)} \quad (۴۲)$$

با توجه به شکل (۹) گشتاور ایجاد شده در میل لنگ از رابطه زیر محاسبه می‌شود:

$$a_g = a_{cx} \vec{i} + a_{cy} \vec{j} \quad (۲۸)$$

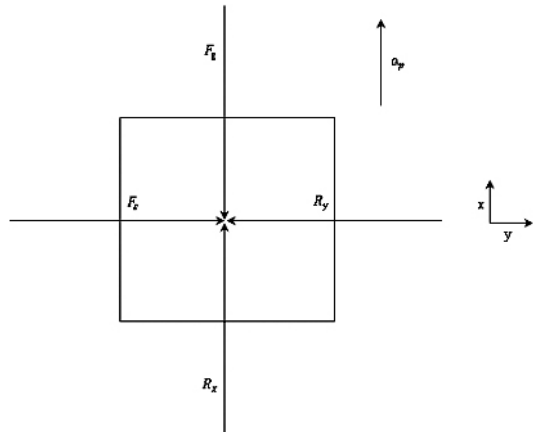
با توجه به معادله‌های (۲۸) و (۲۹) می‌توان a_{cx} و a_{cy} را بدست آورد:

$$a_{cx} = \left[\begin{array}{c} (-r \cos(\theta) \omega - rn \cos(2\theta) \omega^2) + \\ \left[-n \omega^2 \sin \theta \left(1 + \frac{n^2}{4} (1 - \cos 2\theta) \right) + n \frac{n^2}{2} \omega^2 \cos \theta \sin 2\theta \right] (-er \sin(\theta)) \\ +(n \omega \cos(\theta) (1 + \frac{n^2}{4} (1 - \cos(2\theta)))^2 (e(l - rn/4(1 - \cos(2\theta)))) \end{array} \right] \quad (۳۰)$$

$$a_{cy} = \left[\begin{array}{c} (-n \omega^2 \sin \theta \left(1 + \frac{n^2}{4} (1 - \cos 2\theta) \right) + n \frac{n^2}{2} \omega^2 \cos \theta \sin 2\theta) (-e(l - \frac{rn}{4}(1 - \cos(2\theta))) \\ +(n \omega \cos(\theta) (1 + \frac{n^2}{4} (1 - \cos(2\theta)))^2 (-er \sin(\theta))) \end{array} \right]$$

ب- تحلیل سینماتیکی مکانیزم لنگ

در شکل (۷) نیروهای وارد بر پیستون که در امتداد محور X با شتاب a_p و جرم m_p در حال حرکت است، مشاهده می‌شود.



شکل (۷): نیروهای وارد بر پیستون در نقطه تلاقی دسته پیستون

بنابر قانون دوم نیوتن:

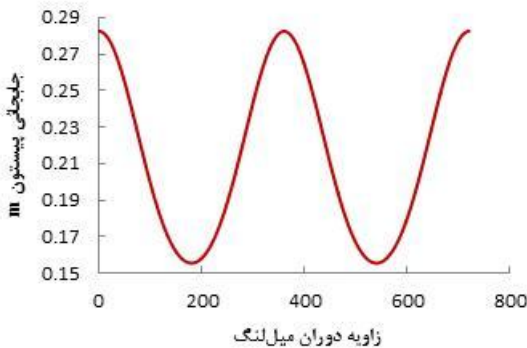
$$\sum F_x = m_p a_p \quad (۴۱)$$

$$R_x - F_g = m_p a_p \quad (۴۲)$$

$$R_x = F_g + m_p a_p \quad (۴۳)$$

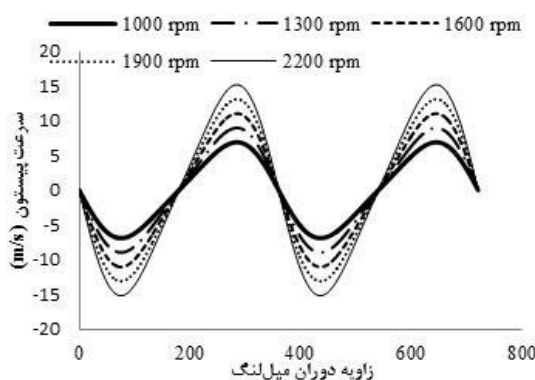
$$\sum F_y = 0 \quad (۴۴)$$

$$F_s = R_y \quad (۴۵)$$



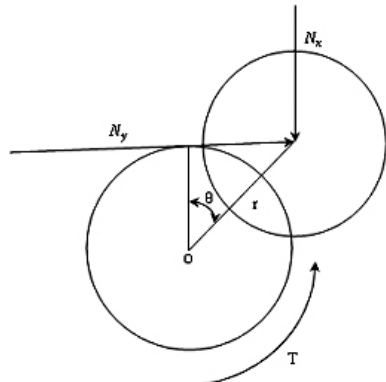
شکل(۱۰): نمودار جابجایی پیستون در زوایای مختلف میل لنگ

شکل (۱۱) نشان می‌دهد بیشترین سرعت پیستون از لحاظ مقدار برابر ۱۴ متر بر ثانیه می‌باشد و در میانه هر یک از کورس‌های مکش، تراکم، انبساط و تخلیه رخ می‌دهد. علامت این سرعت در طول کورس‌های مکش و انبساط منفی و در طول کورس‌های تراکم و تخلیه مثبت می‌باشد. همچنین سرعت در پایان هر یک از کورس‌های مکش، تراکم، انبساط و تخلیه برابر با صفر می‌باشد.



شکل(۱۱): نمودار تغییرات سرعت پیستون بر حسب زوایای مختلف میل لنگ

شتات پیستون هم در سرعت‌های دورانی ۱۰۰۰، ۱۳۰۰، ۱۶۰۰، ۱۹۰۰ و ۲۲۰۰ دور بر دقیقه میل لنگ بر حسب زوایای مختلف دوران برای پیستون سیلندر اول در شکل (۱۲) به نمایش در آمدید است. در میل لنگ مورد تحقیق پیستون شماره یک به سمت جلو تراکتور می‌باشد و جهت حرکت موتور نیز از نمای روبرو (سمت تراکتور) در جهت عقربه‌های ساعت می‌باشد. ترتیب احتراق موتور نیز ۴-۳-۲-۱ می‌باشد. چون یک سیکل کاری موتور ۷۲۰ درجه می‌باشد، بعد از آنکه پیستون شماره یک محترق شد، ۱۸۰ درجه بعد از آن پیستون شماره سه محترق شده و پیستون های بعدی به فاصله ۱۸۰ درجه از پیستون قبلی فرآیند احتراق را طی می‌کنند. بنابراین همین شتاب‌ها برای بقیه پیستون‌ها هم حاکم است با این تفاوت که هر کدام با دیگری ۱۸۰ درجه اختلاف فاز دارد.



شکل(۹): تعیین گشتوار میل لنگ

$$T = N_x r \sin(\theta) + N_y r \cos(\theta) \quad (43)$$

فشار ناشی از احتراق به عنوان محرک اصلی سیستم انتقال قدرت تلقی می‌گردد. فشار داخل سیلندر تابعی از دور موتور، زاویه دوران میل لنگ و بار موتور (توان یا گشتواری که از موتور گرفته می‌شود) می‌باشد (حسینی، ۱۳۷۸). البته به پارامترها باز هم تابعی از جرقه و مقدار پاشش نیز بستگی دارد که این پارامترها باز هم تابعی از دور می‌باشند. فشارهای داخل سیلندر برای دورهای مشخصی توسط تراکتورسازی تبریز تعیین گردیده است. در رابطه (۴۴)، F_g برابر با حاصلضرب فشار داخل محفظه احتراق در سطح مقطع بالای پیستون می‌باشد.

$$F_g = (p - p_0) \times A \quad (44)$$

F_g : نیروی وارد بر سر پیستون حاصل از فشار داخل سیلندر (N)

F: فشار داخل سیلندر (bar)

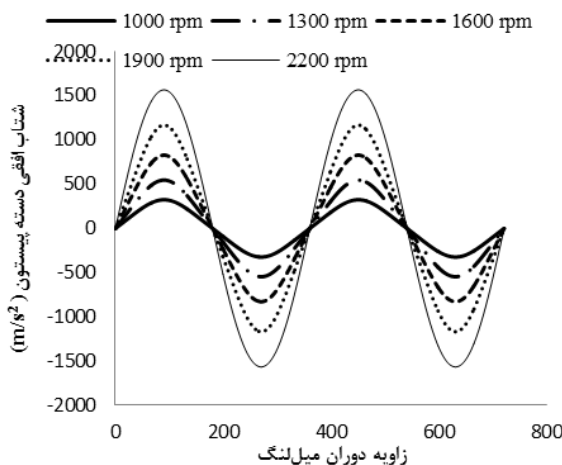
p_0 : فشار محیط که تقریباً برابر با ۱ bar است.

A: سطح مقطع پیستون (m^2)

۳- نتایج و بحث

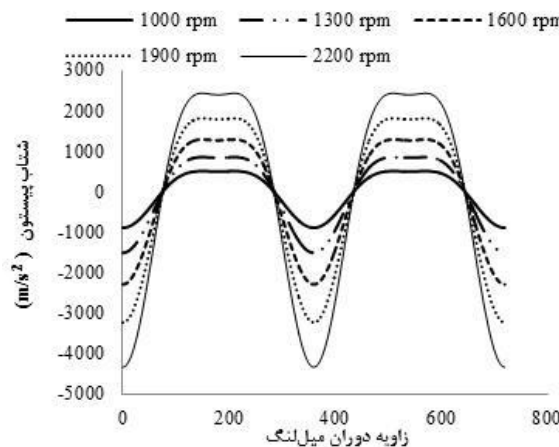
۳-۱- نتایج تحلیل سینماتیکی

شکل (۱۰) جابجایی پیستون را که از روابط تحلیلی در زوایای مختلف میل لنگ بدست آمده نشان می‌دهد. مطابق شکل، پیستون در پایین ترین موقعیت مکانی خود در فاصله ۱۵۸/۵ میلی‌متر از محور میل لنگ (در ابتدای کورس تراکم و تخلیه) قرار می‌گیرد و در بالاترین موقعیت مکانی خود در فاصله ۲۸۵/۵ میلی‌متری از محور میل لنگ (در ابتدای کورس مکش و انبساط) قرار می‌گیرد. بنابراین طول کورس پیستون برابر با فاصله این دو موقعیت یعنی ۱۲۷ میلی‌متر می‌باشد.



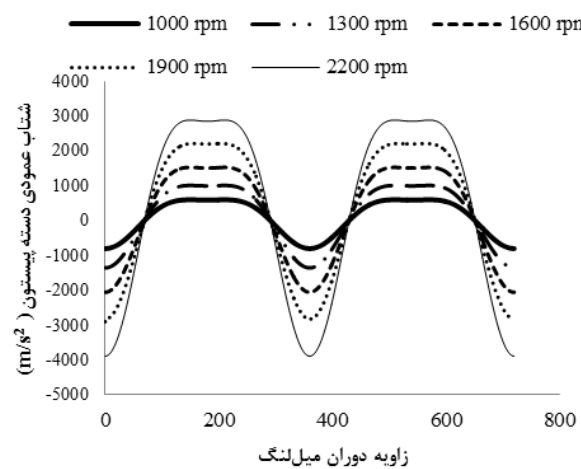
شکل(۱۴): نمودار شتاب افقی دسته پیستون در سرعت‌های مختلف

از شکل‌های (۱۳) و (۱۴) دیده می‌شود با افزایش سرعت دورانی میزان شتاب نیز افزایش یافته است. نیروهای اینرسی با شتاب پیستون رابطه مستقیم دارند. بنابراین با افزایش شتاب نیروی اینرسی واردہ بر میل لنگ نیز افزایش می‌یابد. و همینطور نیروی کل واردہ بر میل لنگ نیز با نیروی اینرسی رابطه دارد. بنابراین با افزایش سرعت دورانی شتاب پیستون و دسته پیستون افزایش یافته و موجب افزایش در نیروی اینرسی و نیروی کل واردہ بر میل لنگ می‌گردد.

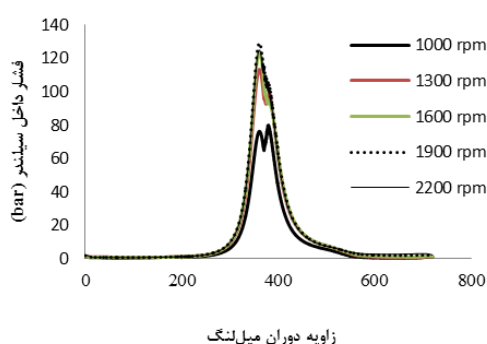


شکل(۱۲): نمودار تغییرات شتاب پیستون بر حسب زوایای مختلف میل لنگ

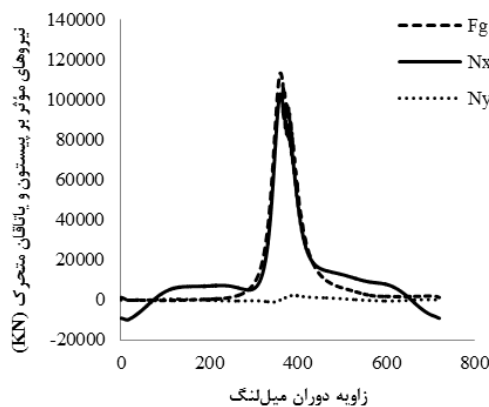
همانطور که از شکل (۱۲) دیده می‌شود با افزایش سرعت، شتاب پیستون افزایش پیدا می‌کند. ماکزیمم شتاب برابر با (4343 m/s^2) برای سرعت دورانی ۲۲۰۰ rpm بدست آمده است. در شکل‌های (۱۳) و (۱۴) هم به ترتیب شتاب عمودی و افقی دسته پیستون برای نمونه برای دسته پیستون شماره یک به نمایش در آمده است.



شکل(۱۳): نمودار شتاب عمودی دسته پیستون در سرعت‌های مختلف

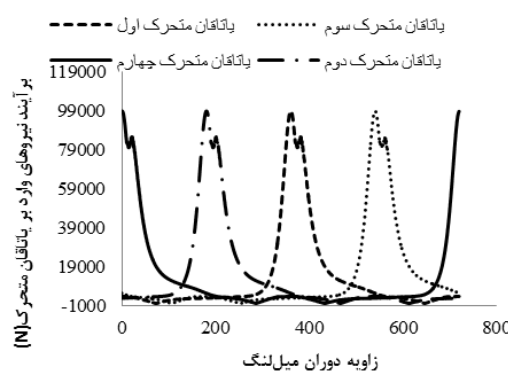


شکل (۱۵): نمودار تغییرات فشار داخل سیلندر

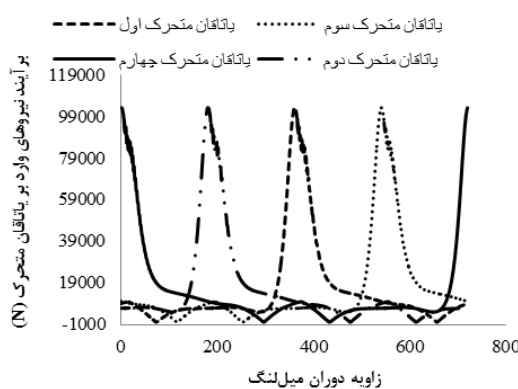


شکل (۱۸): نیروهای مؤثر بر پیستون و یاتاقان متحرک سیلندر یک در سرعت دورانی 2200 rpm

در شکل های (۱۹) و (۲۰) هم برآیند کل نیروهای وارد شده بر کل یاتاقان های متحرک نشان داده است که با هم دیگر به اندازه ۱۸۰ درجه اختلاف فاز دارند.

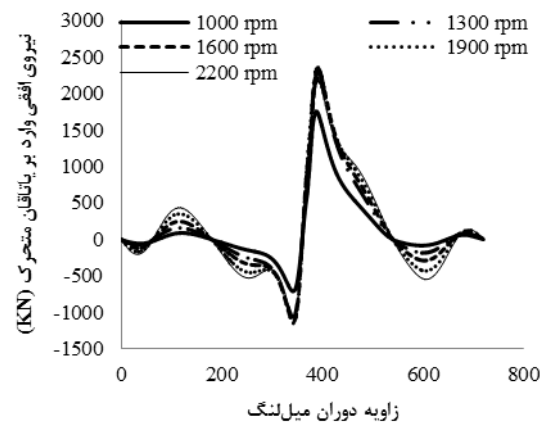


شکل (۱۹): برآیند نیروهای وارد شده بر یاتاقان های متحرک در سرعت دورانی 1300 دور بر دقیقه



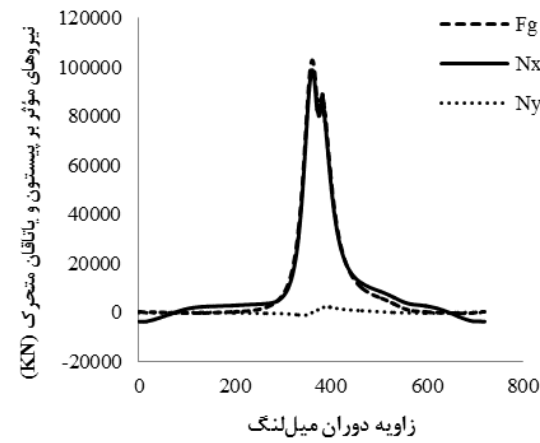
شکل (۲۰): برآیند نیروهای وارد شده بر یاتاقان های متحرک در سرعت دورانی 2200 دور بر دقیقه

نیروی افقی وارد بر یاتاقان متحرک که در رابطه (۴۳) آمده است برای سیلندر یک در یک سیکل کامل دوران و برای سرعت های دورانی $1000, 1300, 1600, 1900$ و 2200 دور بر دقیقه در شکل (۱۶) نشان داده شده است.



شکل (۱۶): نمودار تغییرات نیروی افقی وارد بر یاتاقان متحرک

در شکل های (۱۷) و (۱۸) کل نیروهای مؤثر وارد شده (نیروی حاصل از فشار گاز، نیروی عمودی و نیروی افقی) بر پیستون و یاتاقان متحرک سیلندر یک به ترتیب در دو سرعت دورانی 1300 دور بر دقیقه و 2200 دور بر دقیقه نشان داده شده است.



شکل (۱۷): نیروهای مؤثر بر پیستون و یاتاقان متحرک سیلندر یک در سرعت دورانی 1300 rpm

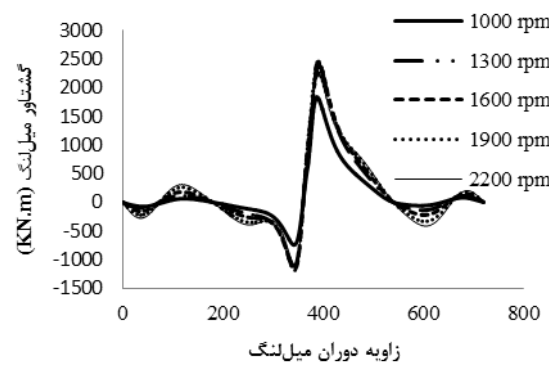
از احتراق در مرحله قدرت باعث پایین رفتن پیستون و چرخش میل لنگ می شود، در موتورهای چهار زمانه در هر دور موتور دو مرحله احتراق است یعنی دو پیستون قدرت حاصل از احتراق را به میل لنگ انتقال می دهند و دو پیستون دیگر بدون انتقال قدرت می باشند و جرم های حاصل از دو پیستونی که قادر انتقال قدرت هستند باعث ایجاد نیروهای اینرسی میرا کننده می شوند و یک گشتاور منفی در مقابل چرخش میل لنگ ایجاد می کنند و اختلالی در چرخش ایجاد می کنند که این گشتاور منفی را فلاپویل خنثی می کند. فلاپویل که در انتهای میل لنگ قرار دارد قدرت حاصل از احتراقی که در بالای پیستون ها صورت گرفته و به میل لنگ انتقال یافته است را در خود ذخیره می کند و در مرحله قادر قدرت این انرژی را آزاد می کند تا گشتاور منفی که پیستون های قادر انتقال قدرت ایجاد می کنند را خنثی کرده و موجب چرخش متعادل میل لنگ گردد.

۳- نتیجه گیری کلی

۱. با افزایش سرعت دورانی میزان شتاب نیز افزایش می یابد. نیروهای اینرسی با شتاب پیستون رابطه مستقیم دارند. بنابراین با افزایش شتاب به مراتب نیروی اینرسی وارد بر میل لنگ نیز افزایش می یابد. همانطور نیروی اینرسی کل وارد بر میل لنگ نیز با نیروی اینرسی رابطه دارد. بنابراین با افزایش سرعت دورانی شتاب پیستون و دسته پیستون افزایش یافته و موجب افزایش در نیروی اینرسی و نیروی کل وارد بر میل لنگ می گردد.
۲. گشتاور خروجی نیز با افزایش سرعت افزایش می یابد و همچنین نوسانات گشتاور نیز با افزایش سرعت بیشتر می شود. با افزایش سرعت میزان نیروهای اینرسی حاصل از جرم پیستون، گزن پین و دسته پیستون نیز افزایش پیدا می کنند و نیروی میرایی ایجاد شده حاصل از این جرمها میزان نیروی حاصل از احتراق را تا حدودی کاهش می دهند.

طبق توضیحات داده شده، فشارهای حاصل از احتراق عامل اصلی دوران میل لنگ می باشد. فشارهای ایجاد شده به ترتیب به پیستون و گزن پین و دسته پیستون و گزن پین و دسته پیستون یک نیروی میرایی در مقابل نیروی ایجاد شده حاصل از احتراق ایجاد کرده و مانع از انتقال کامل نیروی فشار حاصل از احتراق به میل لنگ می گردد. و با افزایش سرعت تأثیر این نیروهای اینرسی حاصل از جرم اجزاء نام برده زیاد شده و نوسانات زیادی را موجب می شود.

گشتاور خروجی میل لنگ هم با توجه به رابطه برای سرعتهای دورانی ۱۰۰۰، ۱۳۰۰، ۱۶۰۰، ۱۹۰۰ و ۲۲۰۰ دور بر دقیقه محاسبه گردیده است و در شکل (۲۱) برای سرعتهای ذکر شده تغییرات گشتاور خروجی نشان داده شده است.



شکل (۲۱): گشتاور میل لنگ حاصل از سرعت دورانی بر حسب زاویه دوران میل لنگ

همانطور که شکل (۲۱) نشان می دهد، گشتاور خروجی نیز با افزایش سرعت افزایش می یابد و همچنین نوسانات گشتاور خروجی نیز با افزایش سرعت بیشتر می شود. با افزایش سرعت میزان نیروهای اینرسی حاصل از جرم پیستون، گزن پین و دسته پیستون نیز افزایش پیدا می کنند و نیروی میرایی ایجاد شده حاصل از این جرمها میزان نیروی حاصل از احتراق را تا حدودی کاهش می دهند. نیروی حاصل

منابع مورد استفاده

- حسینی، ع. ۱۳۸۳. ارتعاشات پیچشی سیستم انتقال قدرت خودرو، پایان نامه کارشناسی ارشد دانشکده مکانیک، دانشگاه صنعتی شریف.
- رنجبر کهن، م. ۱۳۷۸. تحلیل تنش در میل لنگ موتور چهار سیلندر خطی بنزینی Z۲۴ با استفاده از روش اجزاء محدود، پایان نامه کارشناسی ارشد، دانشکده کشاورزی، دانشگاه محقق اردبیلی.
- فروزانپور، ح. ۱۳۷۶. بهسازی و طراحی پیستون، شاتون و میل لنگ موتور پیکان ۱۶۰۰، پایان نامه کارشناسی ارشد، دانشکده فنی، دانشگاه تربیت مدرس.

قاسمی نژاد، م. ۱۳۸۸. بررسی طول عمر مفید موتور و علل خرابی برخی از قسمتهای تراکتور مدل MF-285. مجموعه مقالات پنجمین کنگره ملی مهندسی ماشینهای کشاورزی و مکانیزاسیون، دانشگاه فردوسی مشهد.

مرادی، س. ۱۳۸۵. بررسی رفتار دینامیکی میل لنگ موتور خودروی سمند تحت اثر دمپر ارتعاشات پیچشی، پایان‌نامه کارشناسی ارشد، دانشکده فنی، دانشگاه تربیت مدرس.

Meriam J. L and G. Kraige. 1998. *Engineering Mechanics*, 5th Edition, NewYork, John Willey, pp. 712.

Troy Feese P. E and C. Hil. 2002. *Guidelines for preventing reliability of reciprocating machinery by avoiding torsiding vibration problems*. Engineering Dynamics Incorporated, University San Antonio, Texas 78249, pp. 1-20.

Kinematic and Kinetic Analysis of MF285 Tractor Engine

Gh. H. Shahgholi ^{1*}and H. Irannazhad ²

Received:23 Jul 2013 Accepted: 23Oct 2014

¹Assistant Professor, Agricultural Machinery Mechanics, University of Mohaghegh Ardabili, Ardabil, Iran

²M. Sc. Student, Agricultural Machinery Mechanics, University of Mohaghegh Ardabili, Ardabil, Iran

*Corresponding author: E-mail:gshahgoli@yahoo.com

Abstract

Farm tractors play a key role in farm mechanization all over the world. They supply the required power for most of the agricultural operations such as soil cultivation, planting, weed control and harvesting. ITM 285 is the most popular tractor in IRAN. In spite of its high production and usage, less research has been conducted on its performance optimization. Performance of its engine depends on different parameters such as its components and their interactions. In this research, to demonstrate the operation of engine components and their interactions during engine operation, kinematic and kinetic analysis was conducted for key elements of the engine. The results were analysed in terms of velocity and acceleration of the piston, connecting rod and crankshaft. Also forces and moments acting on the moving crank of the crankshaft were computed. It was concluded that the results of the research are useful for stress and fatigue analysis in order to optimize the engine components and make them durable and lighter in the future.

Keywords: Crankshaft, Kinematic and kinetic analysis, Piston, ITM 285 tractor